

# 電磁気学

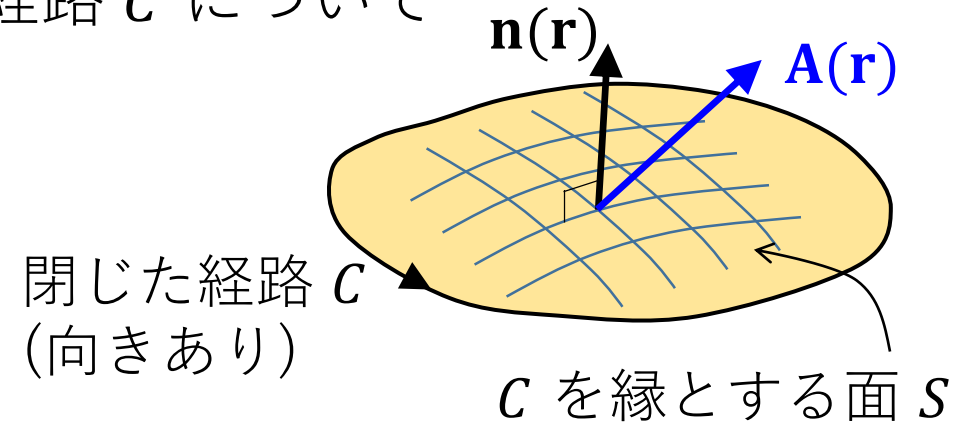
## 第4回 静電ポテンシャルと静電エネルギー

# 前回

- ストークスの定理

任意のベクトル場  $\mathbf{A}(\mathbf{r})$  と任意の閉じた経路  $C$  について

$$\int_C \mathbf{A}(\mathbf{r}) \cdot d\mathbf{r} = \int_S \nabla \times \mathbf{A}(\mathbf{r}) \cdot \mathbf{n}(\mathbf{r}) dS$$



- 静電場  $\mathbf{E}(\mathbf{r}) = \frac{1}{4\pi\epsilon_0} \int_V \rho(\mathbf{r}') \frac{\mathbf{r}-\mathbf{r}'}{|\mathbf{r}-\mathbf{r}'|^3} dV'$

より  $\nabla \times \mathbf{E}(\mathbf{r}) = \mathbf{0}$  うずなしの法則 (微分形)

静電場は保存場

(クーロン力は  $\mathbf{F}(\mathbf{r}) = q\mathbf{E}(\mathbf{r})$  だから  $\nabla \times \mathbf{F}(\mathbf{r}) = \mathbf{0}$  より保存力)

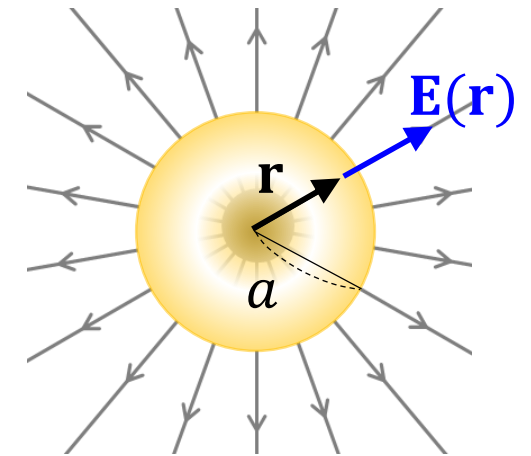
# 例題 1 球状電荷(1)

半径  $a$  電荷密度  $\rho$  の球状電荷が中心から距離  $r$  に作る電場は、微分形のう  
ずなしの法則  $\nabla \times \mathbf{E}(\mathbf{r}) = \mathbf{0}$  を満たしているか？

$$\mathbf{E}(\mathbf{r}) = \begin{cases} \frac{\rho}{3\epsilon_0} \mathbf{r} & (r < a) \quad \dots \textcircled{1} \\ \frac{\rho a^3}{3\epsilon_0 r^3} \mathbf{r} & (r > a) \quad \dots \textcircled{2} \end{cases}$$

[1]  $r < a$  のとき ①より  $\mathbf{E}(\mathbf{r}) = \frac{\rho}{3\epsilon_0} \mathbf{r} = \frac{\rho}{3\epsilon_0} (x, y, z)$

$$\begin{aligned} \nabla \times \mathbf{E}(\mathbf{r}) &= \frac{\rho}{3\epsilon_0} \left( \frac{\partial}{\partial y} z - \frac{\partial}{\partial z} y, \quad \frac{\partial}{\partial z} x - \frac{\partial}{\partial x} z, \quad \frac{\partial}{\partial x} y - \frac{\partial}{\partial y} x \right) \\ &= \frac{\rho}{3\epsilon_0} (0 - 0, 0 - 0, 0 - 0) = \mathbf{0} \quad \text{よって満たしている (つまり } \nabla \times \mathbf{r} = \mathbf{0} \text{)} \end{aligned}$$



# 例題 1 球状電荷(2)

[2]  $r > a$  のとき ②より  $\mathbf{E}(\mathbf{r}) = \frac{\rho a^3}{3\epsilon_0} \left( \frac{x}{r^3}, \frac{y}{r^3}, \frac{z}{r^3} \right)$

公式

$$\frac{\partial}{\partial x} r^n = n r^{n-2} x$$

で  $n = -3$

$$\begin{aligned} \nabla \times \mathbf{E}(\mathbf{r}) &= \frac{\rho a^3}{3\epsilon_0} \left( \frac{\partial}{\partial y} \frac{z}{r^3} - \frac{\partial}{\partial z} \frac{y}{r^3}, \quad \frac{\partial}{\partial z} \frac{x}{r^3} - \frac{\partial}{\partial x} \frac{z}{r^3}, \quad \frac{\partial}{\partial x} \frac{y}{r^3} - \frac{\partial}{\partial y} \frac{x}{r^3} \right) \\ &= \frac{\rho a^3}{3\epsilon_0} \left( z(-3) \frac{y}{r^5} - y(-3) \frac{z}{r^5}, \quad x(-3) \frac{z}{r^5} - z(-3) \frac{x}{r^5}, \quad y(-3) \frac{x}{r^5} - x(-3) \frac{y}{r^5} \right) \\ &= \frac{\rho a^3}{3\epsilon_0} \frac{(-3)}{r^5} (zy - yz, \quad xz - zx, \quad yx - xy) = \mathbf{0} \quad \text{よって満たしている} \end{aligned}$$

# 例題 1 球状電荷(3)

[2]  $r > a$  のとき別解

ベクトル場  $\mathbf{A}(\mathbf{r})$  とスカラー場  $\varphi(\mathbf{r})$  について  $\nabla \times (\varphi \mathbf{A}) = \nabla \varphi \times \mathbf{A} + \varphi \nabla \times \mathbf{A}$

$$\left[ \begin{array}{l} x \text{ 成分について} \\ \text{(左辺)} = (\nabla \times (\varphi \mathbf{A}))_x = \frac{\partial}{\partial y} (\varphi A_z) - \frac{\partial}{\partial z} (\varphi A_y) = \left( \frac{\partial \varphi}{\partial y} A_z + \varphi \frac{\partial A_z}{\partial y} \right) - \left( \frac{\partial \varphi}{\partial z} A_y + \varphi \frac{\partial A_y}{\partial z} \right) \\ \text{(右辺)} = (\nabla \varphi \times \mathbf{A} + \varphi \nabla \times \mathbf{A})_x = \left( \frac{\partial \varphi}{\partial y} A_z - \frac{\partial \varphi}{\partial z} A_y \right) + \varphi \left( \frac{\partial A_z}{\partial y} - \frac{\partial A_y}{\partial z} \right) \\ \text{よって成り立つ. } y, z \text{ 成分についても同様} \end{array} \right]$$

ここで  $\varphi(\mathbf{r}) = r^{-3}$ ,  $\mathbf{A}(\mathbf{r}) = \mathbf{r}$  とする.  $\nabla r^{-3} = \frac{(-3)}{r^5} \mathbf{r}$ , また  $\nabla \times \mathbf{r} = \mathbf{0}$  だから

$$\nabla \times \left( \frac{\mathbf{r}}{r^3} \right) = \nabla r^{-3} \times \mathbf{r} + r^{-3} \nabla \times \mathbf{r} = \frac{(-3)}{r^5} \underline{\mathbf{r} \times \mathbf{r}} + r^{-3} \cdot \mathbf{0} = \mathbf{0}$$

$= \mathbf{0}$

## 例題 2 「うずなし」の意味

- $xy$  面内で原点のまわりに一定の角速度  $\omega$  のうずがある流体の速度場  $\mathbf{v}(\mathbf{r})$  について, その回転は?

原点から距離  $r$  にある流体粒子の位置  $\mathbf{r} = (x, y, 0) = (r \cos \omega t, r \sin \omega t, 0)$

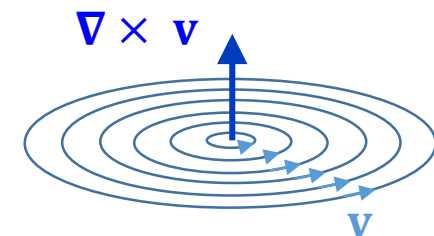
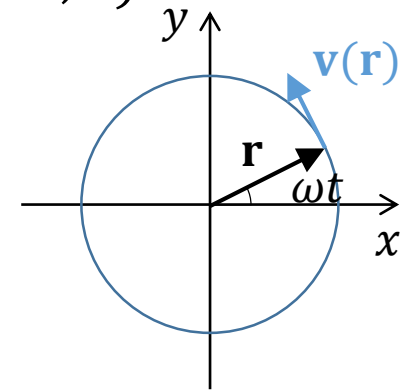
その速度  $\mathbf{v} = \frac{d\mathbf{r}}{dt} = (-\omega r \sin \omega t, \omega r \cos \omega t, 0) = (-\omega y, \omega x, 0)$

よって  $\mathbf{v}$  の回転は

$$\begin{aligned}\nabla \times \mathbf{v} &= \left( \frac{\partial}{\partial y} 0 - \frac{\partial}{\partial z} (\omega x), \frac{\partial}{\partial z} (-\omega y) - \frac{\partial}{\partial x} 0, \frac{\partial}{\partial x} (\omega x) - \frac{\partial}{\partial y} (-\omega y) \right) \\ &= (0 - 0, 0 - 0, \omega - (-\omega)) = (0, 0, 2\omega)\end{aligned}$$

となり, 角速度の 2 倍の大きさで, 回転軸の方向のベクトル  
回転がゼロ  $\leftrightarrow$  うずがない

$\nabla \times \mathbf{E}(\mathbf{r}) = \mathbf{0}$  だから, 静電場にうずはない

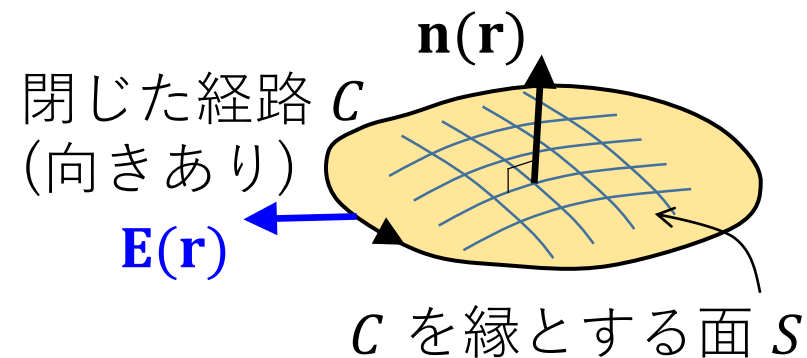


# 静電ポテンシャル(1)

ストークスの定理より任意の閉じた経路  $C$  について

$$\int_C \mathbf{E}(\mathbf{r}) \cdot d\mathbf{r} = \int_S \underbrace{\nabla \times \mathbf{E}(\mathbf{r})}_{= \mathbf{0}} \cdot \mathbf{n}(\mathbf{r}) dS = 0$$

## 静電場のうずなしの法則（積分形）



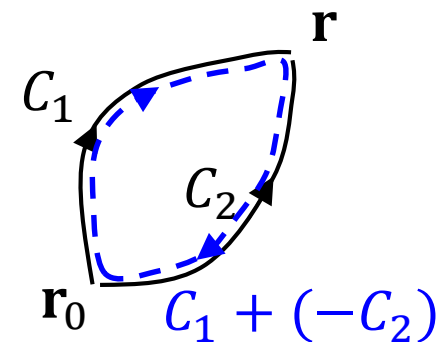
⇔ 任意の 2 点間の線積分の値が経路によらない

$$\because \int_{C_1} \mathbf{E}(\mathbf{r}) \cdot d\mathbf{r} - \int_{C_2} \mathbf{E}(\mathbf{r}) \cdot d\mathbf{r} = \int_{C_1} \mathbf{E}(\mathbf{r}) \cdot d\mathbf{r} + \underbrace{\int_{-C_2} \mathbf{E}(\mathbf{r}) \cdot d\mathbf{r}}_{\text{逆向き}} = \underbrace{\int_{C_1+(-C_2)} \mathbf{E}(\mathbf{r}) \cdot d\mathbf{r}}_{\text{閉じた経路}} = 0$$

始点  $\mathbf{r}_0$  を固定すれば, 線積分の値は終点  $\mathbf{r}$  の関数になる

$$\phi(\mathbf{r}) = - \int_{\mathbf{r}_0(\text{基準点})}^{\mathbf{r}} \mathbf{E}(\mathbf{r}') \cdot d\mathbf{r}'$$

## 静電ポテンシャル（電位）



## 静電ポテンシャル(2)

微小変位  $d\mathbf{r}$  に対するポテンシャルの変化  $d\phi$

$$\begin{aligned} d\phi &= \phi(\mathbf{r} + d\mathbf{r}) - \phi(\mathbf{r}) \\ &= - \int_{\mathbf{r}_0}^{\mathbf{r}+d\mathbf{r}} \mathbf{E}(\mathbf{r}) \cdot d\mathbf{r} - \left( - \int_{\mathbf{r}_0}^{\mathbf{r}} \mathbf{E}(\mathbf{r}) \cdot d\mathbf{r} \right) \\ &= - \int_{\mathbf{r}}^{\mathbf{r}+d\mathbf{r}} \mathbf{E}(\mathbf{r}) \cdot d\mathbf{r} \\ &\doteq -\mathbf{E}(\mathbf{r}) \cdot d\mathbf{r} \quad (\because \text{線積分の定義}) \\ &\doteq \nabla\phi(\mathbf{r}) \cdot d\mathbf{r} \quad (\because \text{勾配の性質}) \end{aligned}$$

よって

$$\mathbf{E}(\mathbf{r}) = -\nabla\phi(\mathbf{r}) = \left( -\frac{\partial\phi}{\partial x}, -\frac{\partial\phi}{\partial y}, -\frac{\partial\phi}{\partial z} \right)$$



# 点電荷の静電ポテンシャル(1)

原点Oにある点電荷  $q$  が位置  $\mathbf{r}$  に作る電場は  $\mathbf{E} = \frac{q}{4\pi\epsilon_0} \frac{\mathbf{r}}{r^3}$

図の点P(基準点) → 点Qまでの線積分

$$-\int_{P \rightarrow Q} \mathbf{E}(\mathbf{r}) \cdot d\mathbf{r} = -\int_{P \rightarrow R \rightarrow Q} \mathbf{E}(\mathbf{r}) \cdot d\mathbf{r} = -\int_{P \rightarrow R} \mathbf{E}(\mathbf{r}) \cdot d\mathbf{r} - \int_{R \rightarrow Q} \mathbf{E}(\mathbf{r}) \cdot d\mathbf{r}$$

$r = r_P$  の円周                      直線

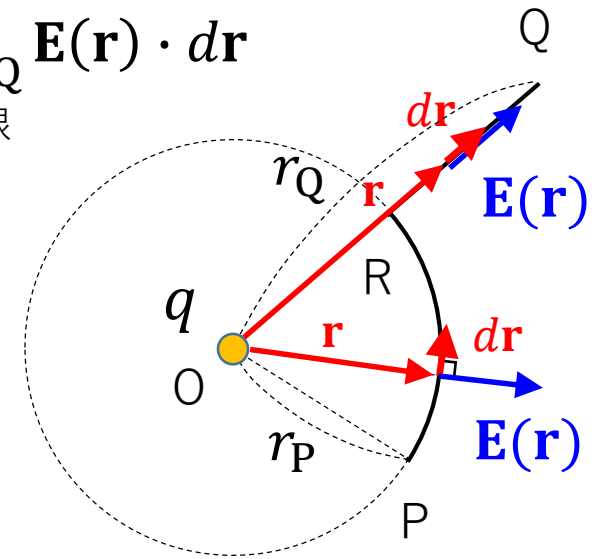
点P → 点Rの円周経路上で  $\mathbf{E} \perp d\mathbf{r}$  より積分はゼロ

点R → 点Qの直線経路上で  $d\mathbf{r} = \frac{\mathbf{r}}{r} dr$  より

$$\mathbf{E}(\mathbf{r}) \cdot d\mathbf{r} = \frac{q}{4\pi\epsilon_0} \frac{\mathbf{r}}{r^3} \cdot \frac{\mathbf{r}}{r} dr = \frac{q}{4\pi\epsilon_0} \frac{1}{r^2} dr$$

$$\therefore -\int_{P \rightarrow Q} \mathbf{E}(\mathbf{r}) \cdot d\mathbf{r} = 0 - \int_{r_P}^{r_Q} \frac{q}{4\pi\epsilon_0} \frac{1}{r^2} dr = \left[ \frac{q}{4\pi\epsilon_0} \frac{1}{r} \right]_{r_P}^{r_Q} = \frac{q}{4\pi\epsilon_0} \left( \frac{1}{r_Q} - \frac{1}{r_P} \right)$$

点Qを観測点  $r_Q = r$  , 点Pを基準点  $r_P \rightarrow \infty$  にとる  $\phi(\mathbf{r}) = \frac{q}{4\pi\epsilon_0} \frac{1}{r}$



# 点電荷の静電ポテンシャル(2)

ポテンシャルが等しい値をとる点の集合  
 = 等ポテンシャル面

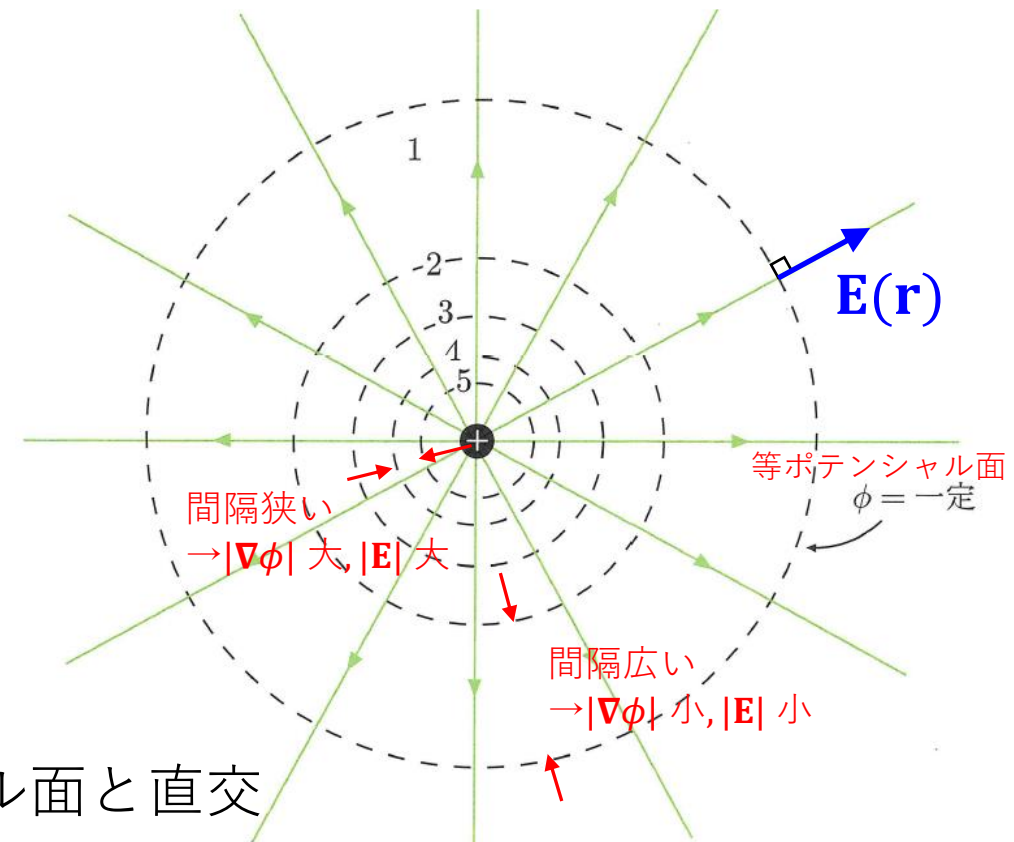
原点の点電荷の場合

$$\phi(\mathbf{r}) = \frac{q}{4\pi\epsilon_0} \frac{1}{r} = \text{一定より } r = \text{一定 (球面)}$$

$$\left[ \phi = \frac{q}{4\pi\epsilon_0} n \quad (n = 1, 2, 3, \dots) \text{ に対し半径 } r = \frac{1}{n} \right]$$

電場  $\mathbf{E}(\mathbf{r})$  がポテンシャルの勾配で与えられる  
 (  $\mathbf{E}(\mathbf{r}) = -\nabla\phi(\mathbf{r})$  ) ことから

- ⌈ 電場  $\mathbf{E}(\mathbf{r})$  (または電気力線) は等ポテンシャル面と直交
- ⌋ 隣り合う等ポテンシャル面の間隔が狭いほど  $|\mathbf{E}|$  は大きい



# 複数の電荷

位置  $\mathbf{r}_i$  にある電荷  $q_i$  が位置  $\mathbf{r}$  に作るポテンシャル  $\phi_i(\mathbf{r}) = \frac{q_i}{4\pi\epsilon_0} \frac{1}{|\mathbf{r} - \mathbf{r}_i|}$

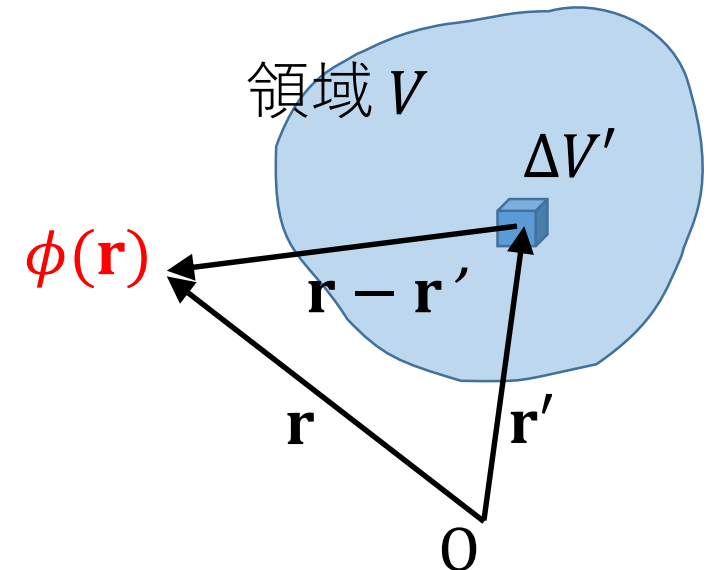
位置  $\mathbf{r}_1, \mathbf{r}_2, \mathbf{r}_3, \dots$  にある電荷  $q_1, q_2, q_3, \dots$  の全体が位置  $\mathbf{r}$  に作るポテンシャル  
重ね合わせの原理により

$$\phi(\mathbf{r}) = \sum_i \phi_i(\mathbf{r}) = \sum_i \frac{q_i}{4\pi\epsilon_0} \frac{1}{|\mathbf{r} - \mathbf{r}_i|}$$

領域  $V$  内に電荷密度  $\rho(\mathbf{r})$  で連続的に分布する電荷が  
位置  $\mathbf{r}$  に作るポテンシャル

位置  $\mathbf{r}'$  の微小体積  $\Delta V'$  にある電荷  $\rho(\mathbf{r}')\Delta V'$   
を点電荷とみなして重ね合わせ

$$\phi(\mathbf{r}) = \frac{1}{4\pi\epsilon_0} \int_V \rho(\mathbf{r}') \frac{1}{|\mathbf{r} - \mathbf{r}'|} dV'$$



## 例題 3 静電場の性質の確認

ポテンシャルの勾配で導かれる場が恒等的にうずなしであること

$\mathbf{E}(\mathbf{r}) = -\nabla\phi(\mathbf{r})$  より電場  $\mathbf{E}(\mathbf{r})$  の各成分は以下で与えられる.

$$E_x(\mathbf{r}) = -\frac{\partial\phi(\mathbf{r})}{\partial x}, E_y(\mathbf{r}) = -\frac{\partial\phi(\mathbf{r})}{\partial y}, E_z(\mathbf{r}) = -\frac{\partial\phi(\mathbf{r})}{\partial z}$$

このとき, 回転  $\nabla \times \mathbf{E}(\mathbf{r})$  の  $x$  成分は

$$\begin{aligned} (\nabla \times \mathbf{E}(\mathbf{r}))_x &= \frac{\partial E_z}{\partial y} - \frac{\partial E_y}{\partial z} = \frac{\partial}{\partial y} \left( -\frac{\partial\phi(\mathbf{r})}{\partial z} \right) - \frac{\partial}{\partial z} \left( -\frac{\partial\phi(\mathbf{r})}{\partial y} \right) \\ &= -\frac{\partial^2\phi(\mathbf{r})}{\partial y\partial z} + \frac{\partial^2\phi(\mathbf{r})}{\partial z\partial y} = 0 \quad (\text{微分の順序は交換可}) \end{aligned}$$

他の成分も同様にゼロなので  $\nabla \times \mathbf{E}(\mathbf{r}) = \mathbf{0}$

## 例題 4 連続分布で $\mathbf{E}(\mathbf{r}) = -\nabla\phi(\mathbf{r})$ の確認

領域  $V$  内に電荷密度  $\rho(\mathbf{r})$  で連続的に分布する電荷が位置  $\mathbf{r}$  に作る電場

$$\mathbf{E}(\mathbf{r}) = \frac{1}{4\pi\epsilon_0} \int_V \rho(\mathbf{r}') \frac{\mathbf{r} - \mathbf{r}'}{|\mathbf{r} - \mathbf{r}'|^3} dV' \quad \text{を導くポテンシャル } \phi(\mathbf{r}) \text{ は?}$$

公式  $\frac{\partial}{\partial x} |\mathbf{r} - \mathbf{r}'|^n = n|\mathbf{r} - \mathbf{r}'|^{n-2}(x - x')$  または  $\nabla |\mathbf{r} - \mathbf{r}'|^n = n|\mathbf{r} - \mathbf{r}'|^{n-2}(\mathbf{r} - \mathbf{r}')$

において  $n = -1$  とすると  $\nabla \frac{1}{|\mathbf{r} - \mathbf{r}'|} = (-1) \frac{\mathbf{r} - \mathbf{r}'}{|\mathbf{r} - \mathbf{r}'|^3}$

よって 
$$\begin{aligned} \mathbf{E}(\mathbf{r}) &= \frac{1}{4\pi\epsilon_0} \int_V \rho(\mathbf{r}') \frac{\mathbf{r} - \mathbf{r}'}{|\mathbf{r} - \mathbf{r}'|^3} dV' = \frac{1}{4\pi\epsilon_0} \int_V \rho(\mathbf{r}') \nabla \frac{-1}{|\mathbf{r} - \mathbf{r}'|} dV' \\ &= -\nabla \frac{1}{4\pi\epsilon_0} \int_V \rho(\mathbf{r}') \frac{1}{|\mathbf{r} - \mathbf{r}'|} dV' \quad \therefore \phi(\mathbf{r}) = \frac{1}{4\pi\epsilon_0} \int_V \rho(\mathbf{r}') \frac{1}{|\mathbf{r} - \mathbf{r}'|} dV' \end{aligned}$$

# 折れ線経路によるポテンシャルの計算(1)

静電場  $\mathbf{E}(\mathbf{r})$  に対し, そのポテンシャル  $\phi(\mathbf{r})$  は折れ線経路での積分により

$$\phi(x, y, z) = - \int_{z_0}^z E_z(x_0, y_0, z') dz' - \int_{y_0}^y E_y(x_0, y', z) dy' - \int_{x_0}^x E_x(x', y, z) dx'$$

と計算される. ただし基準点  $\mathbf{r}_0 = (x_0, y_0, z_0)$  とする.

(チェック)

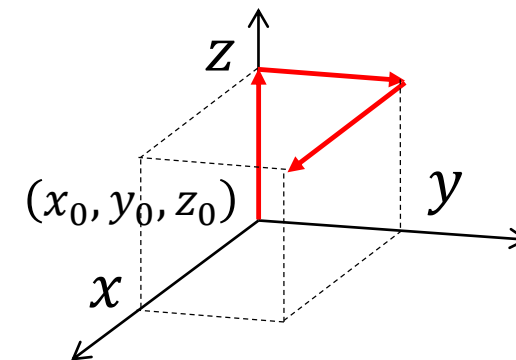
$$-\frac{\partial \phi(\mathbf{r})}{\partial x} = \frac{\partial}{\partial x} \int_{x_0}^x E_x(x', y, z) dx' = E_x(x, y, z) \cdots \textcircled{1}$$

$$-\frac{\partial \phi(\mathbf{r})}{\partial y} = \frac{\partial}{\partial y} \int_{y_0}^y E_y(x_0, y', z) dy' + \frac{\partial}{\partial y} \int_{x_0}^x E_x(x', y, z) dx'$$

$$= E_y(x_0, y, z) + \int_{x_0}^x \frac{\partial}{\partial y} E_x(x', y, z) dx' = E_y(x_0, y, z) + \int_{x_0}^x \frac{\partial}{\partial x'} E_y(x', y, z) dx'$$

$$= E_y(x_0, y, z) + [E_y(x', y, z)]_{x_0}^x \quad \because \frac{\partial E_y}{\partial x} - \frac{\partial E_x}{\partial y} = 0 \quad \text{うずなしの法則の } z \text{ 成分}$$

$$= E_y(x_0, y, z) + (E_y(x, y, z) - E_y(x_0, y, z)) = E_y(x, y, z) \cdots \textcircled{2}$$



# 折れ線経路によるポテンシャルの計算(2)

$$\left[ \phi(x, y, z) = - \int_{z_0}^z E_z(x_0, y_0, z') dz' - \int_{y_0}^y E_y(x_0, y', z) dy' - \int_{x_0}^x E_x(x', y, z) dx' \right]$$

(チェックつづき)

$$\begin{aligned} -\frac{\partial \phi(\mathbf{r})}{\partial z} &= \frac{\partial}{\partial z} \int_{z_0}^z E_z(x_0, y_0, z') dz' + \frac{\partial}{\partial z} \int_{y_0}^y E_y(x_0, y', z) dy' + \frac{\partial}{\partial z} \int_{x_0}^x E_x(x', y, z) dx' \\ &= E_z(x_0, y_0, z) + \int_{y_0}^y \frac{\partial}{\partial z} E_y(x_0, y', z) dy' + \int_{x_0}^x \frac{\partial}{\partial z} E_x(x', y, z) dx' \\ &= E_z(x_0, y_0, z) + \int_{y_0}^y \frac{\partial}{\partial y'} E_z(x_0, y', z) dy' + \int_{x_0}^x \frac{\partial}{\partial x'} E_z(x', y, z) dx' \quad \because \begin{cases} \frac{\partial E_z}{\partial y} - \frac{\partial E_y}{\partial z} = 0 \\ \frac{\partial E_x}{\partial z} - \frac{\partial E_z}{\partial x} = 0 \end{cases} \\ &= E_z(x_0, y_0, z) + [E_z(x_0, y', z)]_{y_0}^y + [E_z(x', y, z)]_{x_0}^x \quad \text{うずなしの法則の } x, y \text{ 成分} \\ &= E_z(x_0, y_0, z) + (E_z(x_0, y, z) - E_z(x_0, y_0, z)) + (E_z(x, y, z) - E_z(x_0, y, z)) \\ &= E_z(x, y, z) \cdots \textcircled{3} \end{aligned}$$

よって①, ②, ③より  $\mathbf{E}(\mathbf{r}) = -\nabla \phi(\mathbf{r})$  が成り立っている.

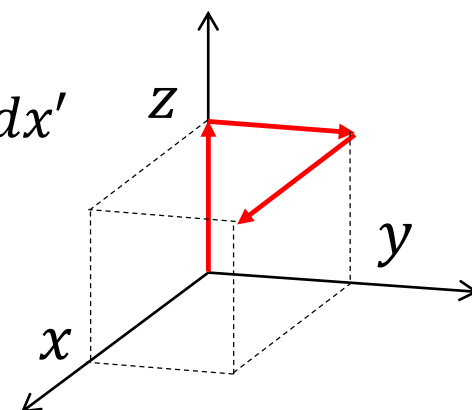
## 例題 5 ポテンシャルの計算

- 静電場  $\mathbf{E}(\mathbf{r}) = (ayz, azx, axy)$  のポテンシャルを求めよ. ただし  $a$  は定数で, 基準点は原点とする.

$E_x(x, y, z) = ayz, \quad E_y(x, y, z) = azx, \quad E_z(x, y, z) = axy$  である.

図の折れ線経路について線積分すると

$$\begin{aligned}\phi(x, y, z) &= -\int_0^z E_z(0, 0, z') dz' - \int_0^y E_y(0, y', z) dy' - \int_0^x E_x(x', y, z) dx' \\ &= -\int_0^z (a \cdot 0 \cdot 0) dz' - \int_0^y (az \cdot 0) dy' - \int_0^x (ayz) dx' \\ &= 0 + 0 - [ayzx']_0^x = -axyz\end{aligned}$$



チェック :  $-\frac{\partial \phi(\mathbf{r})}{\partial x} = -\frac{\partial(-axyz)}{\partial x} = ayz = E_x$  でOK. 他の成分も同様.

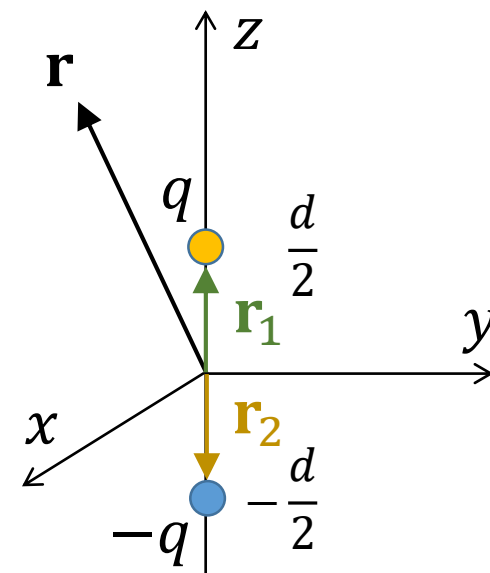


## 例題 6 電気双極子(1)

距離  $d$  離れた  $+q$ ,  $-q$  の 2 電荷が作る静電ポテンシャル求めよ. それを用いて遠方での電場を求め, その様子を調べよ.

両電荷の中点を原点にとり, 負電荷から正電荷へ向かうベクトルを  $\mathbf{d} = (0, 0, d)$  とし,  $+q$  の位置  $\mathbf{r}_1 = \frac{\mathbf{d}}{2} = (0, 0, \frac{d}{2})$ ,  $-q$  の位置  $\mathbf{r}_2 = -\frac{\mathbf{d}}{2} = (0, 0, -\frac{d}{2})$  と書くと, 観測点  $\mathbf{r} = (x, y, z)$  でのポテンシャルは, 重ね合わせの原理から

$$\begin{aligned}\phi(\mathbf{r}) &= \frac{+q}{4\pi\epsilon_0} \frac{1}{|\mathbf{r} - \mathbf{r}_1|} + \frac{-q}{4\pi\epsilon_0} \frac{1}{|\mathbf{r} - \mathbf{r}_2|} = \frac{q}{4\pi\epsilon_0} \left( \frac{1}{\left|\mathbf{r} - \frac{\mathbf{d}}{2}\right|} - \frac{1}{\left|\mathbf{r} + \frac{\mathbf{d}}{2}\right|} \right) \\ &= \frac{q}{4\pi\epsilon_0} \left( \frac{1}{\sqrt{x^2 + y^2 + (z - d/2)^2}} - \frac{1}{\sqrt{x^2 + y^2 + (z + d/2)^2}} \right)\end{aligned}$$



## 例題 6 電気双極子(2)

観測点が双極子から十分遠方 ( $r \gg d$ ) にあるとき

$$\begin{aligned} \left| \mathbf{r} \pm \frac{\mathbf{d}}{2} \right|^{-1} &= \left\{ \left( \mathbf{r} \pm \frac{\mathbf{d}}{2} \right)^2 \right\}^{-\frac{1}{2}} = \left( r^2 \pm \mathbf{r} \cdot \mathbf{d} + \frac{d^2}{4} \right)^{-\frac{1}{2}} = \left\{ r^2 \left( 1 \pm \frac{\mathbf{r} \cdot \mathbf{d}}{r^2} + \frac{d^2}{4r^2} \right) \right\}^{-\frac{1}{2}} \\ &\doteq \frac{1}{r} \left( 1 \pm \frac{\mathbf{r} \cdot \mathbf{d}}{r^2} \right)^{-\frac{1}{2}} \doteq \frac{1}{r} \left( 1 \pm \left( -\frac{1}{2} \right) \frac{\mathbf{r} \cdot \mathbf{d}}{r^2} \right) = \frac{1}{r} \mp \frac{\mathbf{r} \cdot \mathbf{d}}{2r^3} \end{aligned}$$

近似式 「 $x \ll 1$  のとき  $|1 + x|^a \doteq 1 + ax$ 」

$$\begin{aligned} \phi(\mathbf{r}) &= \frac{q}{4\pi\epsilon_0} \left( \frac{1}{\left| \mathbf{r} - \frac{\mathbf{d}}{2} \right|} - \frac{1}{\left| \mathbf{r} + \frac{\mathbf{d}}{2} \right|} \right) \doteq \frac{q}{4\pi\epsilon_0} \left\{ \left( \frac{1}{r} + \frac{\mathbf{r} \cdot \mathbf{d}}{2r^3} \right) - \left( \frac{1}{r} - \frac{\mathbf{r} \cdot \mathbf{d}}{2r^3} \right) \right\} = \frac{q}{4\pi\epsilon_0} \frac{\mathbf{r} \cdot \mathbf{d}}{r^3} \\ &= \frac{\mathbf{r} \cdot \mathbf{p}}{4\pi\epsilon_0 r^3} \quad \text{ただし } \mathbf{p} = q\mathbf{d} = (0, 0, qd) = (0, 0, p) \end{aligned}$$

電気双極子モーメントベクトル

## 例題 6 電気双極子(3)

静電ポテンシャル  $\phi(\mathbf{r}) = \frac{\mathbf{r} \cdot \mathbf{p}}{4\pi\epsilon_0 r^3}$  より, 電場は

$$\mathbf{E}(\mathbf{r}) = -\nabla\phi(\mathbf{r}) = -\frac{1}{4\pi\epsilon_0} \nabla \frac{\mathbf{r} \cdot \mathbf{p}}{r^3} = -\frac{1}{4\pi\epsilon_0} \left\{ \nabla(\mathbf{r} \cdot \mathbf{p}) \frac{1}{r^3} + (\mathbf{r} \cdot \mathbf{p}) \nabla r^{-3} \right\}$$

$$\left( \begin{array}{l} \frac{\partial}{\partial x}(\mathbf{r} \cdot \mathbf{p}) = \frac{\partial}{\partial x}(xp_x + yp_y + zp_z) = p_x \quad \text{他の成分も同様. よって } \nabla(\mathbf{r} \cdot \mathbf{p}) = \mathbf{p} \\ \text{公式 } \frac{\partial}{\partial x} r^n = nr^{n-2}x \text{ で } n = -3 \rightarrow \frac{\partial}{\partial x} r^{-3} = (-3)r^{-5}x \text{ 等より } \nabla r^{-3} = (-3)r^{-5}\mathbf{r} \end{array} \right)$$

$$= -\frac{1}{4\pi\epsilon_0} \left\{ \mathbf{p} \frac{1}{r^3} + (\mathbf{r} \cdot \mathbf{p})(-3) \frac{\mathbf{r}}{r^5} \right\} = \frac{1}{4\pi\epsilon_0} \left\{ -\frac{\mathbf{p}}{r^3} + \frac{3(\mathbf{r} \cdot \mathbf{p})\mathbf{r}}{r^5} \right\}$$

成分で表すと  $\mathbf{r} = (x, y, z)$ ,  $\mathbf{p} = (0, 0, p)$  より  $\mathbf{r} \cdot \mathbf{p} = zp \rightarrow \phi(\mathbf{r}) = \frac{zp}{4\pi\epsilon_0 r^3}$

$$\mathbf{E}(\mathbf{r}) = \frac{1}{4\pi\epsilon_0} \left\{ -\frac{(0, 0, p)}{r^3} + \frac{3zp(x, y, z)}{r^5} \right\} = \frac{p}{4\pi\epsilon_0} \left( \frac{3zx}{r^5}, \frac{3zy}{r^5}, \frac{3z^2 - r^2}{r^5} \right)$$

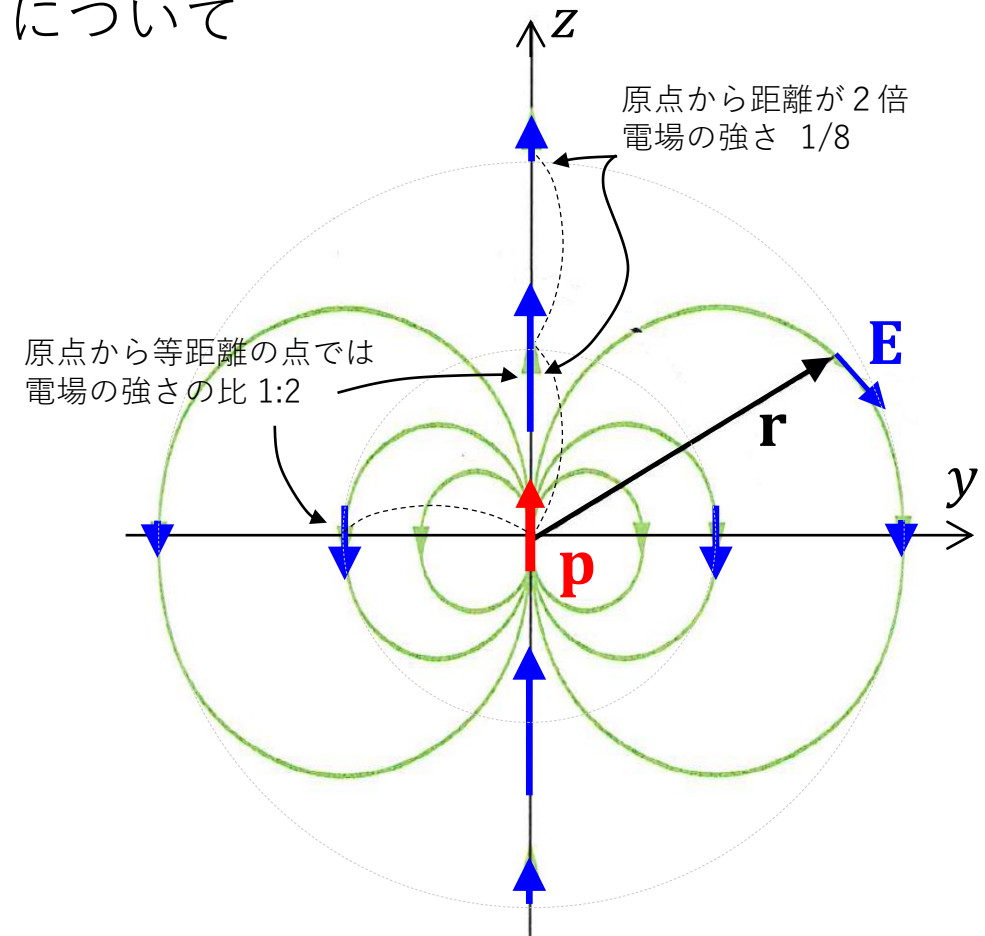
# 例題 6 電気双極子(4)

遠方での電場  $\mathbf{E}(\mathbf{r}) = \frac{p}{4\pi\epsilon_0} \left( \frac{3zx}{r^5}, \frac{3zy}{r^5}, \frac{3z^2 - r^2}{r^5} \right)$  について

$$\left\{ \begin{array}{l} xy \text{ 面上}(z=0) \text{ で } \mathbf{E}(\mathbf{r}) = \frac{p}{4\pi\epsilon_0} \left( 0, 0, \frac{-1}{r^3} \right) \\ z \text{ 軸上}(x=y=0) \text{ で } r=|z| \text{ より } \mathbf{E}(\mathbf{r}) = \frac{p}{4\pi\epsilon_0} \left( 0, 0, \frac{2}{r^3} \right) \end{array} \right.$$

(まとめ) 遠方で双極子の作る

$$\left\{ \begin{array}{l} \text{ポテンシャル } \phi(\mathbf{r}) = \frac{\mathbf{r} \cdot \mathbf{p}}{4\pi\epsilon_0 r^3} \\ \text{電場 } \mathbf{E}(\mathbf{r}) = \frac{1}{4\pi\epsilon_0} \left\{ -\frac{\mathbf{p}}{r^3} + \frac{3(\mathbf{r} \cdot \mathbf{p})\mathbf{r}}{r^5} \right\} \end{array} \right.$$

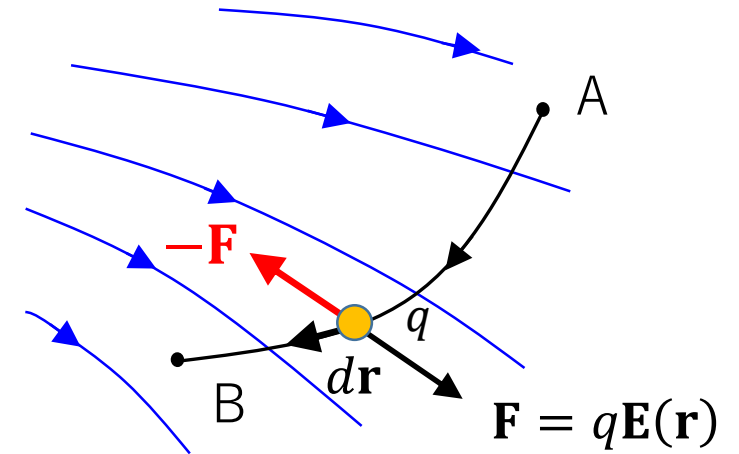


# 静電エネルギー

静電場  $\mathbf{E}(\mathbf{r})$  の中で電荷  $q$  をA点→B点へ運ぶ仕事

加える（仕事をする）力 = 電荷が電場から受ける力  $\mathbf{F} = q\mathbf{E}(\mathbf{r})$  に逆らう力  $-\mathbf{F}$

$$\begin{aligned}
 \therefore W &= \int_{A \rightarrow B} (-\mathbf{F}) \cdot d\mathbf{r} \\
 &= - \int_{A \rightarrow B} q\mathbf{E}(\mathbf{r}) \cdot d\mathbf{r} \\
 &= -q \int_A^B \mathbf{E}(\mathbf{r}) \cdot d\mathbf{r} \quad (\because q\mathbf{E}(\mathbf{r}) \text{ は保存力}) \\
 &= q \left( - \int^B \mathbf{E}(\mathbf{r}) \cdot d\mathbf{r} + \int^A \mathbf{E}(\mathbf{r}) \cdot d\mathbf{r} \right) \\
 &= q(\phi(B) - \phi(A)) \quad \text{静電エネルギー}
 \end{aligned}$$



1 C（クーロン）の電荷を運ぶ仕事は 1 J（ジュール）となる電位差 = 1 V（ボルト）  
 (1J) = (1V) × (1C) 電位  $\phi$  の単位

# 複数電荷から成る系の静電エネルギー(1)

電位の基準点を無限遠にとる( $\phi(\infty) = 0$ )

位置  $\mathbf{r}_i$  にある電荷  $q_i$  が位置  $\mathbf{r}$  に作るポテンシャル  $\phi_i(\mathbf{r}) = \frac{q_i}{4\pi\epsilon_0} \frac{1}{|\mathbf{r} - \mathbf{r}_i|}$

電荷  $q_1$  が位置  $\mathbf{r}_1$  にあるとき, 電荷  $q_2$  を無限遠から位置  $\mathbf{r}_2$  へ運ぶ仕事  $W_2 = q_2\phi_1(\mathbf{r}_2)$

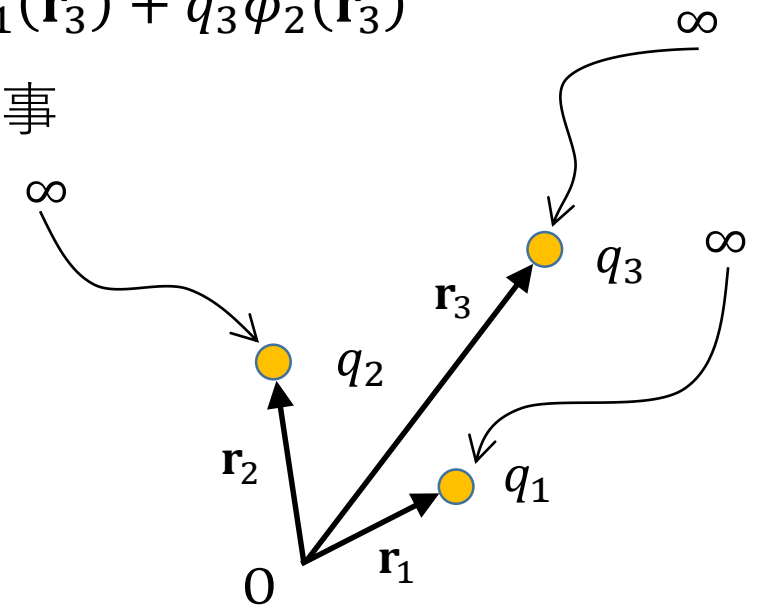
さらに電荷  $q_3$  を無限遠から位置  $\mathbf{r}_3$  へ運ぶ仕事  $W_3 = q_3\phi_1(\mathbf{r}_3) + q_3\phi_2(\mathbf{r}_3)$

よって, 電荷  $q_1, q_2, q_3$  を無限遠から位置  $\mathbf{r}_1, \mathbf{r}_2, \mathbf{r}_3$  へ運ぶ全仕事

$$\begin{aligned} W &= W_2 + W_3 = q_2\phi_1(\mathbf{r}_2) + q_3\phi_1(\mathbf{r}_3) + q_3\phi_2(\mathbf{r}_3) \\ &= q_2 \frac{q_1}{4\pi\epsilon_0} \frac{1}{|\mathbf{r}_2 - \mathbf{r}_1|} + q_3 \frac{q_1}{4\pi\epsilon_0} \frac{1}{|\mathbf{r}_3 - \mathbf{r}_1|} + q_3 \frac{q_2}{4\pi\epsilon_0} \frac{1}{|\mathbf{r}_3 - \mathbf{r}_2|} = U \end{aligned}$$

電荷  $q_1, q_2, q_3$  から成る系の静電エネルギー

結局, 全ての電荷対  $q_i, q_j$  について  $\frac{q_i q_j}{4\pi\epsilon_0} \frac{1}{|\mathbf{r}_i - \mathbf{r}_j|}$  を加えたもの



# 複数電荷から成る系の静電エネルギー(2)

一般に, 位置  $\mathbf{r}_1, \mathbf{r}_2, \mathbf{r}_3, \dots$  にある電荷  $q_1, q_2, q_3, \dots$  から成る系の静電エネルギー

$$\begin{aligned}
 U &= \sum_{i < j} \frac{q_i q_j}{4\pi\epsilon_0 |\mathbf{r}_i - \mathbf{r}_j|} = \frac{1}{2} \sum_{i, j (i \neq j)} \frac{q_i q_j}{4\pi\epsilon_0 |\mathbf{r}_i - \mathbf{r}_j|} = \frac{1}{2} \sum_i q_i \left( \sum_{j (\neq i)} \frac{q_j}{4\pi\epsilon_0 |\mathbf{r}_i - \mathbf{r}_j|} \right) \\
 &= \frac{1}{2} \sum_i q_i \left( \sum_{j (\neq i)} \phi_j(\mathbf{r}_i) \right) = \frac{1}{2} \sum_i q_i \phi(\mathbf{r}_i) \\
 &\quad = \phi(\mathbf{r}_i) \text{ と書く} \cdots q_i \text{ 以外の全ての } q_j \text{ が } \mathbf{r}_i \text{ につくるポテンシャル}
 \end{aligned}$$

領域  $V$  内に電荷密度  $\rho(\mathbf{r})$  で連続的に分布する電荷の静電エネルギー

位置  $\mathbf{r}$  の微小体積  $\Delta V$  にある電荷  $\rho(\mathbf{r})\Delta V$  を点電荷とみなして重ね合わせ

$$U = \frac{1}{2} \int_V \rho(\mathbf{r}) \phi(\mathbf{r}) dV$$

# 静電エネルギーの近接作用的表現(1)

$$\begin{aligned}
 U &= \frac{1}{2} \int_V \rho(\mathbf{r}) \phi(\mathbf{r}) dV \\
 &= \frac{1}{2} \int_V (\epsilon_0 \nabla \cdot \mathbf{E}(\mathbf{r})) \phi(\mathbf{r}) dV \quad \left[ \because \nabla \cdot \mathbf{E}(\mathbf{r}) = \frac{\rho(\mathbf{r})}{\epsilon_0} \quad \text{微分形のガウスの法則} \right] \\
 &= \frac{\epsilon_0}{2} \int_V \{ \nabla \cdot (\phi(\mathbf{r}) \mathbf{E}(\mathbf{r})) - \nabla \phi(\mathbf{r}) \cdot \mathbf{E}(\mathbf{r}) \} dV \quad \left[ \because \text{公式 } \nabla \cdot (\phi \mathbf{E}) = \nabla \phi \cdot \mathbf{E} + \phi(\nabla \cdot \mathbf{E}) \right] \\
 &\quad \left( \begin{aligned} \nabla \cdot (\phi \mathbf{E}) &= \frac{\partial}{\partial x} (\phi E_x) + \frac{\partial}{\partial y} (\phi E_y) + \frac{\partial}{\partial z} (\phi E_z) \\ &= \left( \frac{\partial \phi}{\partial x} E_x + \phi \frac{\partial E_x}{\partial x} \right) + \left( \frac{\partial \phi}{\partial y} E_y + \phi \frac{\partial E_y}{\partial y} \right) + \left( \frac{\partial \phi}{\partial z} E_z + \phi \frac{\partial E_z}{\partial z} \right) \\ &= \left( \frac{\partial \phi}{\partial x} E_x + \frac{\partial \phi}{\partial y} E_y + \frac{\partial \phi}{\partial z} E_z \right) + \phi \left( \frac{\partial E_x}{\partial x} + \frac{\partial E_y}{\partial y} + \frac{\partial E_z}{\partial z} \right) \\ &= \nabla \phi \cdot \mathbf{E} + \phi(\nabla \cdot \mathbf{E}) \end{aligned} \right) \\
 &= \frac{\epsilon_0}{2} \int_V \nabla \cdot (\phi(\mathbf{r}) \mathbf{E}(\mathbf{r})) dV - \frac{\epsilon_0}{2} \int_V \nabla \phi(\mathbf{r}) \cdot \mathbf{E}(\mathbf{r}) dV
 \end{aligned}$$



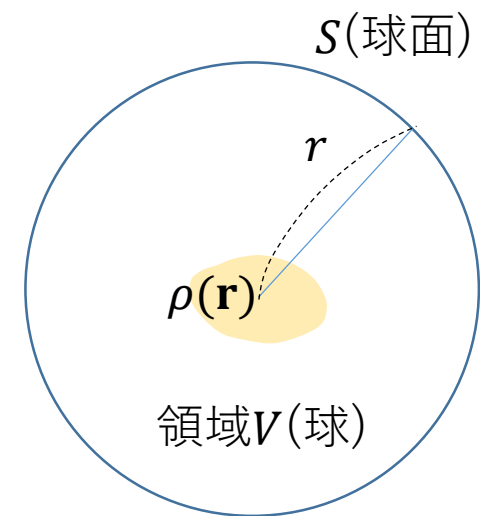
# 静電エネルギーの近接作用的表現(2)

$$\begin{aligned}
 U &= \frac{\varepsilon_0}{2} \int_V \nabla \cdot (\phi(\mathbf{r}) \mathbf{E}(\mathbf{r})) dV - \frac{\varepsilon_0}{2} \int_V \nabla \phi(\mathbf{r}) \cdot \mathbf{E}(\mathbf{r}) dV \\
 &= \frac{\varepsilon_0}{2} \int_S (\phi(\mathbf{r}) \mathbf{E}(\mathbf{r})) \cdot \mathbf{n}(\mathbf{r}) dS + \frac{\varepsilon_0}{2} \int_V \mathbf{E}(\mathbf{r}) \cdot \mathbf{E}(\mathbf{r}) dV \quad \because \left\{ \begin{array}{l} \text{第1項 ガウスの定理} \\ \int_V \nabla \cdot \mathbf{A}(\mathbf{r}) dV = \int_S \mathbf{A}(\mathbf{r}) \cdot \mathbf{n}(\mathbf{r}) dS \\ \text{で } \mathbf{A}(\mathbf{r}) = \phi(\mathbf{r}) \mathbf{E}(\mathbf{r}) \text{ とする} \\ \text{第2項 } \mathbf{E}(\mathbf{r}) = -\nabla \phi(\mathbf{r}) \end{array} \right.
 \end{aligned}$$

ここで第1項は、領域  $V$  を十分に大きくとるとゼロ

$$\left[ \begin{array}{l} \because V \text{ を, (有限な)電荷分布を中心に半径 } r \text{ の球にとる} \\ r \rightarrow \infty \text{ のとき表面 } S \text{ 上で } \phi(\mathbf{r}) \sim \frac{1}{r}, \mathbf{E}(\mathbf{r}) \sim \frac{1}{r^2} \text{ だから} \\ \int_S (\phi(\mathbf{r}) \mathbf{E}(\mathbf{r})) \cdot \mathbf{n}(\mathbf{r}) dS \sim \frac{1}{r} \cdot \frac{1}{r^2} \cdot 4\pi r^2 \sim \frac{1}{r} \rightarrow 0 \text{ (} r \rightarrow \infty \text{)} \end{array} \right]$$

$$\therefore U = \frac{\varepsilon_0}{2} \int_V \mathbf{E}(\mathbf{r})^2 dV = \int_V u_e(\mathbf{r}) dV \text{ と書くと } u_e(\mathbf{r}) = \frac{1}{2} \varepsilon_0 \mathbf{E}(\mathbf{r})^2$$



静電場のエネルギー密度：単位  $\text{J/m}^3$   
(単位体積あたりのエネルギー)

エネルギーは空間の“ゆがみ”に蓄えられる (近接作用的表現)

# 例題 7 球状電荷の静電エネルギー

- 半径  $a$  電荷密度  $\rho$  の球状電荷の静電エネルギー？

球の内外の電場

$$\mathbf{E}(\mathbf{r}) = \begin{cases} \frac{\rho}{3\epsilon_0} \mathbf{r} & (r \leq a) \\ \frac{\rho a^3}{3\epsilon_0} \frac{\mathbf{r}}{r^3} & (r > a) \end{cases}$$

$$\left[ \begin{array}{l} \text{原点からの距離 } r \text{ だけの関数 } f(r) \text{ の体積積分} \\ \int_{V(\text{球対称})} f(r) dV = \int_a^b f(r) \cdot 4\pi r^2 dr \\ a \leq r \leq b \end{array} \right]$$

$$\therefore U = \frac{\epsilon_0}{2} \int_V \mathbf{E}(\mathbf{r})^2 dV = \frac{\epsilon_0}{2} \left\{ \int_0^a \left( \frac{\rho}{3\epsilon_0} \mathbf{r} \right)^2 \cdot 4\pi r^2 dr + \int_a^\infty \left( \frac{\rho a^3}{3\epsilon_0} \frac{\mathbf{r}}{r^3} \right)^2 \cdot 4\pi r^2 dr \right\}$$

$$= \frac{\epsilon_0}{2} \left\{ \int_0^a \left( \frac{\rho}{3\epsilon_0} \right)^2 \cdot 4\pi r^4 dr + \int_a^\infty \left( \frac{\rho a^3}{3\epsilon_0} \right)^2 \cdot 4\pi \frac{1}{r^2} dr \right\}$$

$$\text{電荷の総和 } q = \rho \cdot \frac{4}{3} \pi a^3$$

$$= \frac{\epsilon_0}{2} \left( \frac{\rho}{3\epsilon_0} \right)^2 \left\{ 4\pi \left[ \frac{r^5}{5} \right]_0^a + a^6 \cdot 4\pi \left[ -\frac{1}{r} \right]_a^\infty \right\} = \frac{\epsilon_0}{2} \left( \frac{\rho}{3\epsilon_0} \right)^2 4\pi a^5 \left( \frac{1}{5} + 1 \right) = \frac{4\pi \rho^2 a^5}{15\epsilon_0} = \frac{3q^2}{20\pi\epsilon_0 a}$$

# (補足) 球対称関数の体積積分

原点からの距離  $r$  の関数  $f(r)$  の球対称な領域  $V$  ( $a \leq r \leq b$ ) での体積積分

$$\int_{\substack{V(\text{球対称}) \\ a \leq r \leq b}} f(r) dV = \int_a^b f(r) \cdot 4\pi r^2 dr$$

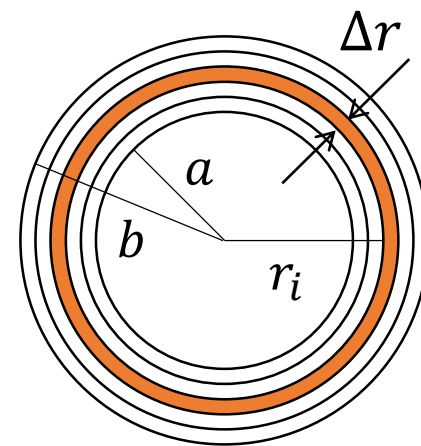
$r$  による定積分で計算できる

(直感的には) 領域  $V$  を, 半径が  $r_1, r_2, \dots$  で厚さ  $\Delta r$  の薄い球殻に分割する

$r_i \leq r \leq r_i + \Delta r$  の球殻の体積  $\Delta V_i \doteq 4\pi r_i^2 \Delta r$

この範囲で  $f(r) = f(r_i)$  (一定) と近似すると

$$\begin{aligned} \int_{\substack{V(\text{球対称}) \\ a \leq r \leq b}} f(r) dV &\doteq \sum_i f(r_i) \Delta V_i = \sum_i f(r_i) 4\pi r_i^2 \Delta r \\ &\xrightarrow{(\Delta r \rightarrow 0)} \int_a^b f(r) \cdot 4\pi r^2 dr \end{aligned}$$



# (補足) 球状電荷のポテンシャル

電場

$$\mathbf{E}(\mathbf{r}) = \begin{cases} \frac{\rho}{3\varepsilon_0} \mathbf{r} & (r \leq a) \\ \frac{\rho a^3}{3\varepsilon_0} \frac{\mathbf{r}}{r^3} & (r > a) \end{cases}$$

から, 無限遠  $r_0 = \infty$  を基準点としてポテンシャルを求める  
 動径  $\mathbf{r}$  に沿った直線経路で  $\mathbf{E}(\mathbf{r}) \cdot d\mathbf{r} = E(r)dr$  となるので

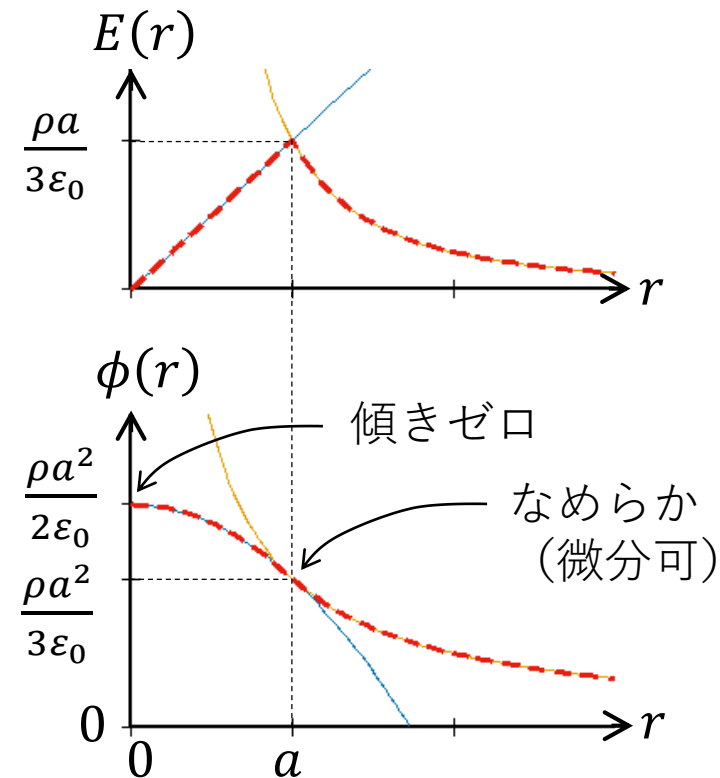
$$\phi(r) = - \int_{r_0}^r \mathbf{E}(\mathbf{r}) \cdot d\mathbf{r} = - \int_{\infty}^r E(r)dr$$

$r > a$  のとき

$$\phi(r) = - \int_{\infty}^r \frac{\rho a^3}{3\varepsilon_0 r^2} dr = \frac{\rho a^3}{3\varepsilon_0} \left[ \frac{1}{r} \right]_{\infty}^r = \frac{\rho a^3}{3\varepsilon_0 r}$$

$r \leq a$  のとき

$$\phi(r) = - \int_{\infty}^a \frac{\rho a^3}{3\varepsilon_0 r^2} dr - \int_a^r \frac{\rho r}{3\varepsilon_0} dr = \frac{\rho a^3}{3\varepsilon_0 a} - \frac{\rho}{3\varepsilon_0} \left[ \frac{r^2}{2} \right]_a^r = \frac{\rho a^2}{3\varepsilon_0} - \frac{\rho}{3\varepsilon_0} \frac{r^2 - a^2}{2} = \frac{\rho a^2}{2\varepsilon_0} - \frac{\rho r^2}{6\varepsilon_0}$$



# (補足) 球状電荷の静電エネルギー[別解]

$$\text{ポテンシャル} \quad \phi(r) = \begin{cases} \frac{\rho a^2}{2\varepsilon_0} - \frac{\rho r^2}{6\varepsilon_0} & (r \leq a) \\ \frac{\rho a^3}{3\varepsilon_0 r} & (r > a) \end{cases} \quad \text{電荷密度} \quad \rho(r) = \begin{cases} \rho & (r \leq a) \\ 0 & (r > a) \end{cases}$$

から, 静電エネルギー

$$\begin{aligned} U &= \frac{1}{2} \int_V \rho(\mathbf{r}) \phi(\mathbf{r}) dV = \frac{1}{2} \int_0^a \rho \left( \frac{\rho a^2}{2\varepsilon_0} - \frac{\rho r^2}{6\varepsilon_0} \right) 4\pi r^2 dr \\ &= \frac{1}{2} \frac{\rho^2}{2\varepsilon_0} 4\pi \int_0^a \left( a^2 - \frac{r^2}{3} \right) r^2 dr \\ &= \frac{1}{2} \frac{\rho^2}{2\varepsilon_0} 4\pi \left[ a^2 \frac{r^3}{3} - \frac{1}{3} \frac{r^5}{5} \right]_0^a \\ &= \frac{1}{2} \frac{\rho^2}{2\varepsilon_0} 4\pi \left( a^2 \frac{a^3}{3} - \frac{1}{3} \frac{a^5}{5} \right) = \frac{4\pi \rho^2 a^5}{12\varepsilon_0} \left( 1 - \frac{1}{5} \right) = \frac{4\pi \rho^2 a^5}{15\varepsilon_0} \end{aligned}$$

エネルギー密度の積分と  
同じ結果